

硝酸银与开链聚醚的配位研究^①

李永绣

倪兆艾

(江西大学)

(杭州大学)

摘要

作者合成了硝酸银与开链聚醚1.8-二(8'-羟喹啉)-3.6-二氧杂辛烷的固体配合物，并确定其化学组成为 $[\text{Ag}_4\text{L}_3](\text{NO}_3)_4$ (L表示开链聚醚)，还通过对配合物的溶解性、摩尔电导、紫外-可见光谱、核磁共振谱等的研究，证明该配合物中的开链聚醚(L)主要以其喹啉N和芳醚氧与银离子配位。

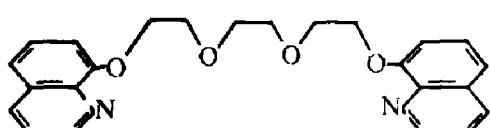
关键词：开链聚醚 硝酸银 配位化学

冠醚类配体与金属的配位主要依靠离子-偶极相互作用，同时又与冠醚空腔和金属离子的直径匹配有很大关系^[1]。尽管金属银离子与冠醚氧的离子-偶极相互作用不很突出，但由于 Ag^+ 与 K^+ 具有相近的离子半径^[2]，因此，对于银离子与冠醚类配体，尤其是氮、硫杂冠醚类配体的配位研究已有一些报道^[2-4]。开链聚醚与冠醚类似，与金属配位时可形成一类似冠醚的环状结构^[5,6]。本文作者合成了以8-喹啉基为末端基的醚型开链聚醚1.8-二(8'-羟喹啉)-3.6-二氧杂辛烷(用L表示)，在无水乙酸乙酯溶液中合成了它与硝酸银的固体配合物，并对配合物的组成和性质进行了研究。

1 实验

1.1 试剂与仪器

配体L按文献^[5,6]中的类似方法合成，产物经IR、¹H NMR及元素分析鉴定，确定产物符合结构式：



无水乙酸乙酯是由分析纯试剂加适量 P_2O_5 脱水后蒸馏，收集78℃馏分。 AgNO_3 为分析纯。

C.H.N.元素分析用CARLO ERBA元素分析仪测定，Ag含量用GGX-2型原子吸收分光光度计测定(Ag灯， $\lambda=328.35\text{ nm}$)，其它仪器有：PERKIN ELMER683红外分光光度计，UV-265紫外-可见分光光度计，FX-90Q核磁共振仪，CDR-1型差动热分析仪，PRT-1型热天平，DDS-11A型电导仪。

1.2 配合物的合成

将 AgNO_3 和配体L分别溶于无水乙酸乙酯溶液中，浓度为0.02 mol/L，在搅拌下将配体溶液慢慢加入到等摩尔量的硝酸银溶液中，加完后继续搅拌反应1 h，静置过夜后过滤，用无水乙酸乙酯洗涤数次，抽干后转入 P_2O_5 真空干燥器中干燥至恒重。

2 结果与讨论

2.1 配合物的组成、摩尔电导及溶解性

配合物为淡黄色粉末，元素分析结果列于表1，测定值与 $[\text{AgNO}_3]_4[\text{L}]$ 组成式的理论计算

^①本课题属江西省自然科学基金资助项目；本文于1992年5月26日收到

值相吻合，证明配合物是由四个硝酸银分子与三个配体分子组成。

表1 配合物的元素分析结果

元 素	C	H	N	Ag
测定值 / wt.-%	45.57	3.88	7.01	23.43
按 $[AgNO_3]_4[L]$, 计算值 / wt.-%	45.67	3.81	7.40	22.81

配合物不溶于无水乙酸乙酯，在丙酮、无水乙醇中有一定溶解度，在氯仿、乙腈和二甲亚砜溶液中的溶解性较好，溶液呈黄色。配合物在水、乙醇及氯仿溶液中的摩尔电导测定值分别为 528、156 和 $8.4 \Omega^{-1} \cdot cm^2 \cdot md^{-1}$ ，它属于 1:4 型电解质^[7]，且其组成式可写成 $[Ag_4L_3](NO_3)_4$ 。

2.2 配合物的紫外-可见吸收光谱

对应于配体中喹啉环上的 $\pi-\pi^*$ 电子跃迁和喹啉氮上弧对电子的 $n-\pi^*$ 电子跃迁分别在 248.2 nm 处和 305.8 nm 处呈现吸收峰(如图 1)形成配合物后它们分别有 2.2 nm 和 2.4 nm 的红移，证明配体与 $AgNO_3$ 之间存在着配位作用与此同时， $n-\pi^*$ 跃迁光谱峰的强度明显下降(与 $\pi-\pi^*$ 跃迁峰的强度比由配体中 0.677 降致配合物中 0.431)，证明喹啉 N 上的电子参与了配位，使 N 上的 n 电子云密度降低。

2.3 配合物的红外光谱

配合物及其配体的红外光谱如图 2、图 3 所示，可以看出配位后配体的红外吸收有了明显的变化，表现为配体在 3400 cm^{-1} 和 3560 cm^{-1} 处的两个宽峰在配合物中为一个宽峰，最大吸收峰在 3440 cm^{-1} 处，配体在 3050 、 2930 、 2880 cm^{-1} 处的 C-H 伸缩振动峰在配位后虽然没有明显的位移，但其相对强度有明显减弱，表明配位后红外活性降低。在中红外区，除 1383 cm^{-1} 的强度与未配位时相近外，其它吸收峰的强度均有不同程度的降低，较为明显的是 1262 cm^{-1} 处的 Ar-O-R 伸缩振动和 1103 cm^{-1} 处的 R-O-R 伸缩振动峰，后者的峰形也明显变窄(由 $1080\sim 1130\text{ cm}^{-1}$ 变为 $1060\sim 1150\text{ cm}^{-1}$)喹啉环的吸收峰与 NO_3^- 的吸收峰重叠，由配体的 728、750、786、 819 cm^{-1} 四个吸收峰变为 717、740、

755、778 和 820 cm^{-1} 五个吸收峰，难以用来确定 NO_3^- 的配位形式。 820 cm^{-1} 和 740 cm^{-1} 处的较强吸收又与未配位 NO_3^- 的特征吸收峰 1390 cm^{-1} 接近，后一结果与摩尔电导的测定值较为相符，即 NO_3^- 处于配合物的外界，未与 Ag 直接配位。

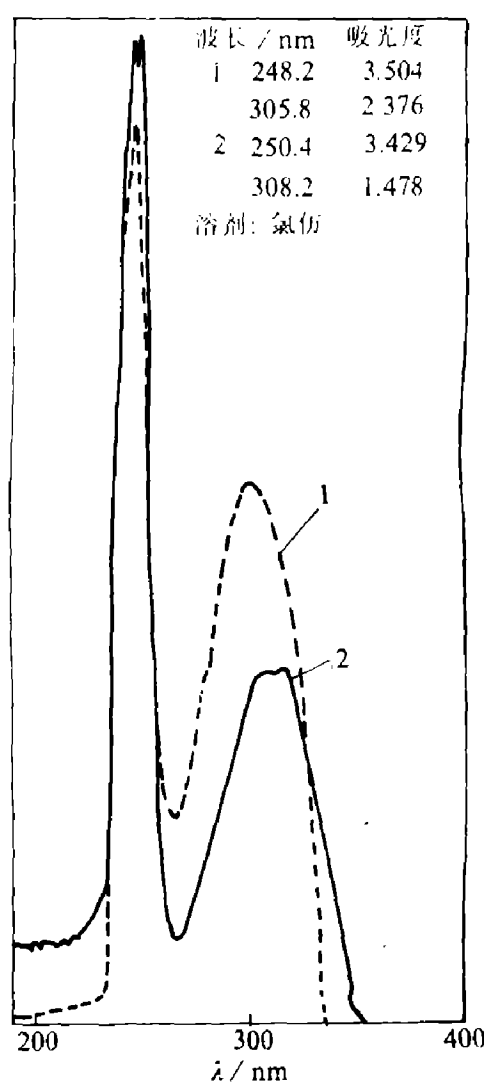


图1 配体(1)及配合物(2)的紫外吸收光谱

2.4 配合物的核磁共振谱

测定了配体及配合物在氘代丙酮中的核磁共振谱，各质子的化学位移值(δ ppm)列入表 2，结果表明：与烷醚氧相连碳上质子(f, g)的化学位移值在配位前后变化很小，证明烷醚氧在配合物中与 Ag 的配位很弱。其它质子的化学位移变化值均比较大，且均向低场位移，各

质子的低场位移大小次序为: d>b>c>a, 与 N 邻位碳上质子(a)的位移较小, 间位碳上质子(d)的位移值最大, 这种低场位移次序证明配体与 Ag 配位时喹啉环上离域大 π 键上的电子云密度增大了, 这可解释为配体中喹啉 N 与 Ag 配位形成 σ 键时, 银离子 d 轨道上的电子反馈到喹啉环大 π 轨道上, 环上电子云密度增大对质子有去屏蔽作用, 化学位移移向低场, 且以间位质子的位移最大。N 邻位碳上质子的低场位移最小是由于 N 与 Ag 配位时, σ 键电子向 Ag 偏移, 使邻位碳上的电子云密度有所降低。

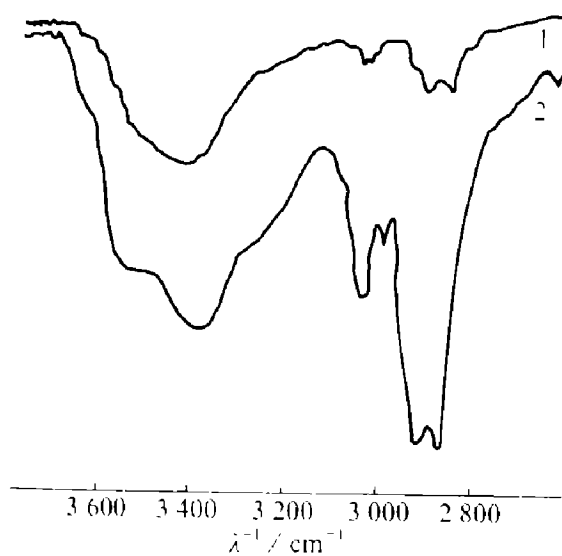


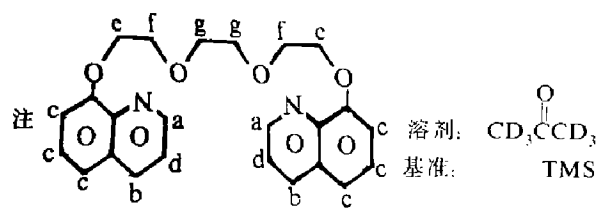
图 2 配合物的红外吸收光谱(高频区)

1—配合物(KBr 压片); 2—配体(液膜)

表 2 配体及配合物中各质子的化学

位移值比较 / ppm

质子	a	b	c	d	e	f	g
配体	8.844	8.247	7.440	7.185	4.346	3.989	3.749
配合物	9.100	8.609	7.749	7.650	4.744	4.006	3.673
△δ	0.256	0.357	0.309	0.469	0.398	0.017	-0.076



2.5 配合物的差热-热重分析

图 4 为配体的矩热分析曲线, 在 247 °C 左右有一宽的吸热峰, 394~418 °C 为一吸热双峰, 配合物的 DTA-TG 曲线如图 5, 170~197 °C 有吸热双峰, 290、380 °C 为两个吸热峰, 555 °C 处有一强放热峰, 证明配体与 Ag 之间有较强的相互作用。失重曲线可分为三个阶段, 分别为: 20~150 °C、150~400 °C 和 400~600 °C, 中间没有明显的平台, 总失重率 77.39 %, 与组成式的理论失重率 77.19 % 相吻合。

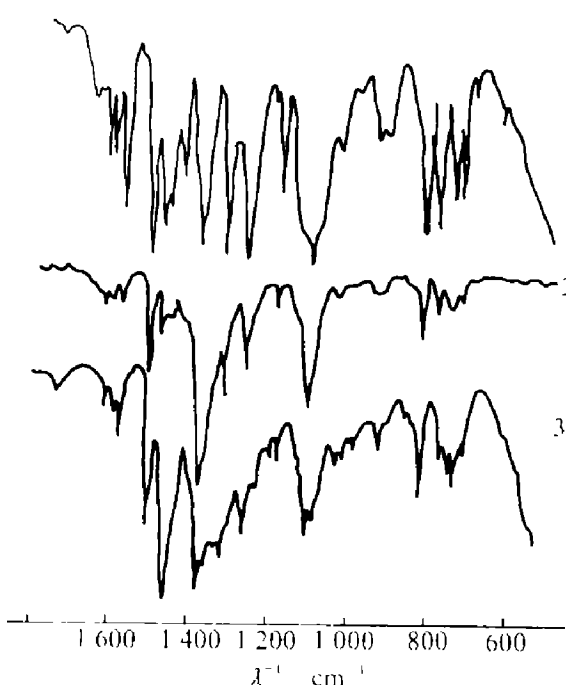


图 3 配体及配合物的红外光谱(中频区)

1—配体(液膜); 2—配合物(KBr 压片);

3—配合物(石蜡油糊)

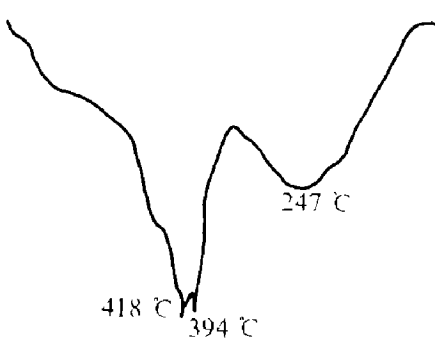


图 4 配体的 DTA 曲线

(静态空气气氛, $\gamma\text{-Al}_2\text{O}_3$ 作参比, 升温速度为 10 °C / min)

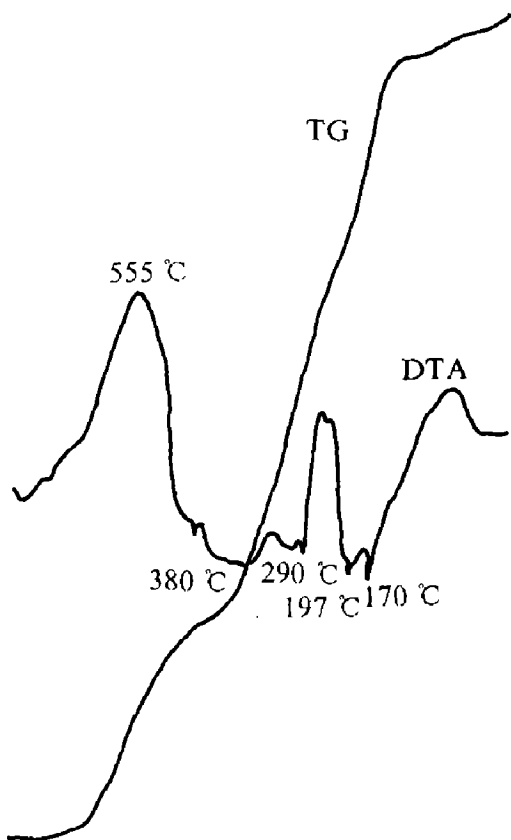


图 5 配合物的 DTA-TG 曲线

(静态空气气氛, 升温速度为 10 °C / min)

(上接第 20 页)

不可确定的。

当周长或表面积是具有分维数为 D_p 或 D_s 的量时, 可按文献[12]选用体积直径 d_v 表示颗粒大小, 即

$$P^{1/D_p} \propto V^{1/3} \quad (4)$$

式中 V 是颗粒的体积

$$S^{1/D_s} \propto V^{1/3} \quad (5)$$

因为 $V = k d_V^3$, k 为常数

$$\text{所以 } P \propto d_V^{D_p} = r_1 d_V^{D_p} \quad (6)$$

$$S \propto d_V^{D_s} = r_2 (d_V^{D_s/2})^2 \quad (7)$$

式中 r_1 , r_2 分别为取决于最小自相似结构的常数。(6)、(7)两式与传统周长及表面积的表达式 $r_1 d_V$ 和 $r_2 d_V^2$ 比较, 其粒度应按 $d_V D_p$ 和 $d_V^{D_s/2}$ 来进行计算。

(4) 矿岩破碎颗粒表面的分维数, 是描述颗粒性质的一个特征量, 还需要进行广泛的测

参考文献

- 1 Pederson C J. J Amer Chem Soc, 1967, 89: 7017.
- 2 Pederson C J, Frensdorff H K. Angew Chem Internat, 1972, 11 (1): 16.
- 3 Christensen J J et al. Chem Rev, 1974, 74: 351.
- 4 Frensdorff H K. J Amer Chem Soc, 1971, 93: 600.
- 5 Tummler B et al. J Amer Chem Soc, 1977, 99: 4683.
- 6 Vogtle F, Sieger H. Angew Chem Internat, 1977, 16: 396.
- 7 Geary W J. Coord Chem Rev, 1971, 7: 81.

定; 但本文测得的 15 种矿岩的平均分维数可以作为一个开端。

参考文献

- 1 Mandelbrot B B. Fractal Geometry of Nature. Freeman: San Francisco, 1982. 262.
- 2 Meloy T P. Screening. Washington D. C: AIME, 1969.
- 3 Meloy T P. In: Proceedings Eng Found Conference, Deerfield, 1991.
- 4 Meloy T P. Powder Technol, 1977, 16(2): 233–254.
- 5 Meloy T P. Powder Technol, 1977, 17(1): 27–36.
- 6 Avnir D, Farin D, Pfeifer P. Nature, 1984, 308: 261.
- 7 Pfeifer P, Avnir D. J Chem Phg, 1983, 79: 3558.
- 8 Kaye B H. In: Proc Particle Size Analysis Conference, Salford, Chem Soc, Analyt Div, 1977.
- 9 Flook A G. Powder Technol, 1978, 21: 295–298.
- 10 Mandelbrot B B. Nature, 1984, 308(19): 721–722.
- 11 Clark N N. Nature, 1986, 319(20): 625.
- 12 高安秀树(著), 沈步明(译). 分维数. 北京: 地震出版社, 1989.